

حل جریان لایه مرزی آرام و جت آزاد توربولانس با استفاده از شبکه‌های عصبی

حسن بصیرت تبریزی^{*}، محمد باقر منهاج^{**} و آریوبرزن شعبانی^{***}

دانشکده مهندسی مکانیک، دانشگاه صنعتی امیرکبیر

دانشکده مهندسی برق، دانشگاه صنعتی امیرکبیر

(دریافت مقاله: ۱۳۷۶/۷/۱۹ - دریافت نسخه‌نهایی: ۱۳۷۷/۲/۱۲)

چکیده - روش جدیدی که مبتنی بر کاربرد شبکه‌های عصبی برای حل معادله جریان لایه مرزی آرام و جت آزاد توربولانس است در بررسی حاضر مذکور نظر گرفته می‌شود. به منظور حل معادله‌ها از شبکه‌های عصبی سلولی که کاربرد وسیعی در حل معادله‌های دیفرانسیل جزئی دارند استفاده می‌شود. عملکرد مناسب شبکه عصبی سلولی توسط پیاده سازی‌های رایانه‌ای نشان داده شده است.

Solution of Laminar Boundary Layer and Turbulent Free Jet with Neural Networks

H. Basirat Tabrizi, M. B. Menhaj and A. Shabani

Department of Mechanical Engineering , Amir Kabir University of Technology

Department of Electrical Engineering , Amir Kabir University of Technology

ABSTRACT- A novel neuro-based method is introduced to solve the laminar boundary layer and the turbulent free jet equations. The proposed method is based on cellular neural networks, CNNs, which are recently applied widely to solve partial differential equations. The effectiveness of the method is illustrated through some examples.

است [۱ و ۲]. این شبکه‌ها دارای خصوصیاتی از شبکه‌های

- مقدمه

عصبی طبیعی اند و خصایص اصلی آنها پردازش موازی و همزمان اطلاعات و دینامیک زمان پیوسته است [۱ و ۲]. شبکه‌های عصبی

احتیاج قابل ملاحظه به پردازش موازی اطلاعات موجب ایجاد و توسعه یک مدل جدید محاسباتی به نام شبکه‌های عصبی شده

* استادیار * دانشیار ** دانشجوی دکتری

فهرست علامت

A	ماتریس ضرایب خطی ولتاژ	I	ستون در همسایگی سلول	u	ورودی
B	ماتریس ضرایب خطی ولتاژ	M	سطر	x	حالت
C	ماتریس ضرایب غیر خطی	N	ستون	y	خروجی
C'		r'	همسایگی		اندیس بالاها
C''		R	مقامات الکتریکی	u	لایه u
C'''		t	زمان	v	لایه v
D	ماتریس ضرایب غیر خطی	u	مؤلفه افقی سرعت	v,u	از لایه محاسباتی ۷ به لایه محاسباتی u
D		v	مؤلفه عمودی سرعت	u,u	از لایه محاسباتی u به لایه محاسباتی u
E	منبع مستقل غیر وابسته به زمان ولتاژ	x	مختصات طولی		حروف یونانی
F	اعضای ماتریس	i	سطر	v	لزجت سینماتیکی
G	اعضای ماتریس	j	ستون	ρ	چگالی
H	قدم مکانی	k	سطر در همسایگی	τ	تشن برش ظاهری
I	جريان	l	ستون در همسایگی		
K	سطر در همسایگی سلول	r	شعاع همسایگی		

می توان به دو گروه اصلی تقسیم کرد: جتهای آزاد و جريان پشت اجسام. جريان مورد مطالعه در اينجا به گروه اول تعلق دارد. اين جريان براثر عبور سیال با سرعت ثابت متناهی، از روی يك پله با پهنا و عمق بى نهايت پدید مى آيد [۱۱]. ميدان جريان توربولانس علاوه بر شمول تنشهای موجود در ميدان جريان آرام از كميتهاي موسوم به تنشهای ظاهری نيز تأثير مى بذيرد. منساً اين تنشهای ظاهری مؤلفه‌های اغتشاشی موجود در متغيرهای ميدان جريان است. برای جريان توربولانس آزاد مورد نظر رابطه ساده‌ای بین اين تنشهای ظاهری و پارامترهای ميدان جريان وجود دارد که در اينجا از آن برای مدل‌سازی جريان توسط شبکه عصبی سلولی استفاده شده است [۱۱].

بخشی از اين گزارش به تشریح ساختار شبکه عصبی به کار رفته اختصاص یافته است. سپس تقریب معادله‌های دیفرانسیل جزیی توسط شبکه‌های عصبی سلولی شرح داده شده است. بخش سوم به بيان معادله‌های حاکم پرداخته و بخش چهارم به نتایج پياده‌سازی اختصاص یافته است. در بخش پنجم نتایج به دست آمده توسط شبکه عصبی مورد بررسی قرار گرفته و صحبت آنها با جوابهای شبیه‌سازی شده مقایسه شده است. در بخش آخر نيز نتیجه گيري

سلولی^۱ مدارهای آنالوگی هستند که برای پياده سازی توسط مدارهای مجتمع^۲ بنا شده‌اند [۱ و ۳] و از نوع آن گروه شبکه‌های عصبی‌اند که خصوصیات فوق الذکر را دارند و برای حل انواع مختلفی از معادله‌های دیفرانسیلی جزیی به کار گرفته شده‌اند [۴ و ۸].

معادله جريان جت آزاد توربولانس و معادله لایه مرزی آرام سرعت توسط يك شبکه سلولی دو لایه حل شده است. به عنوان مقدمه‌ای بر حل معادله‌های جريان جت آزاد توربولانس، جريان لایه مرزی آرام توسط يك شبکه عصبی سلولی حل شده است. جريان لایه مرزی روی صفحه تخت دو بعدی است و به دليل چسبندگی جريان سیال به دیواره تختی که جريان روی آن برقرار می شود پدید مى آيد. روش عددی مطلوب برای حل معادله‌های جريان لایه مرزی با کاربرد شبکه محسوب برای متغير و گستره سازی مناسب اين معادله‌ها حاصل مى شود.

جريان جت آزاد از جمله جريانهای موجود در چارچوب توربولانس آزاد است. در مطالعه ميدان جريان تا همسانگرد توربولانس به دلایل عملی چنین رایج است که در ابتدا به جريانهای به اصطلاح مقدماتی پرداخته شود [۱۱]. اين جريانهای مقدماتی را

کلی آورده شده است.

شرایط قید:

$$|V_{xij}(.)| \leq 1, \quad 1 \leq i \leq M; \quad 1 \leq j \leq N \quad (2-d)$$

$$|V_{uij}(t)| \leq 1, \quad 1 \leq i \leq M; \quad 1 \leq j \leq N \quad (2-e)$$

که C' نشانگر یک خازن خطی، R_x نشانگر یک مقاومت خطی، I یک منبع مستقل جریان، $A(i,j;k,l)V_{ykl}$ و $D(V_{yij}(t), V_{ykl}(t))$ منابع خطی جریان کنترل شونده توسط ولتاژ، و $f_{kl} = d_{kl}V_{yij}(t) + c_{kl}V_{uij}(t)$ جریان کنترل شونده توسط ولتاژ هستند [۴] و برای آنها،

$$D(V_{yij}(t), V_{ykl}(t)) = \begin{bmatrix} F_{11} & \dots & F_{1N} \\ \vdots & \ddots & \vdots \\ f_{M1} & \dots & f_{MN} \end{bmatrix} \quad (2-f)$$

و

$$C(V_{uij}(t), V_{ykl}(t)) = \begin{bmatrix} g_{11} & \dots & g_{1N} \\ \vdots & \ddots & \vdots \\ g_{M1} & \dots & g_{MN} \end{bmatrix} \quad (2-g)$$

که در آنها

$$f_{kl} = d_{kl}V_{yij}(t) + c_{kl}V_{uij}(t) \quad (2-h)$$

$$g_{kl} = c_{kl}V_{uij}(t) \quad (2-i)$$

و d_{kl} ، c_{kl} و α ، β کمیتهای ثابتی اند و مقدار همه آنها در اینجا برابر یک است. E_{ij} نیز یک منبع مستقل ولتاژ است که به زمان وابسته نیست.

۱-۲ تقریب معادله‌های دیفرانسیل جزیی توسط شبکه‌های عصبی سلولی

به طور کلی شبکه‌های عصبی سلولی توسط یک سیستم گسترده از معادله‌های دیفرانسیل معمولی بیان می‌شود [۱ و ۲]. شبکه‌های عصبی سلولی مانند معادله‌های دیفرانسیل جزیی دارای این ویژگی هستند که رفتار دینامیکی آنها فقط به ارتباطهای موضعی^۳ فضایی آنها بستگی دارد [۱]. شبکه عصبی سلولی به عنوان یک سیستم گستره فضایی^۴، معادله دیفرانسیل جزیی توصیف کننده رفتار یک سیستم پیوسته فضایی^۵ را تقریب می‌زند.

۲ - ساختار شبکه عصبی سلولی

به منظور فراهم آوردن زمینه لازم برای حل معادله‌های جریان مربوط به لایه مرزی آرام و جت آزاد توربولنس باید با ساختار شبکه عصبی به کار رفته آشنا شد. ساختار شبکه عصبی سلولی مانند Cellular Automata است [۱، ۲، ۶ و ۷]. بدین صورت که هر سلول در شبکه فقط به سلولهای مجاور خود به طور مستقیم متصل است. ردیف i ام و ستون j ام از یک ترکیب فضایی خاص با $C''(i,j)$ نمایش داده می‌شود. همسایگی r ، N'_r ، با شعاع r یک سلول (i,j) در یک شبکه عصبی دارای M سطر و N ستون بدین صورت تعریف می‌شود [۱ و ۲]

$$N'_r(i,j) = \left\{ C''(k,l) \mid \max[|k-i|, |l-j|] \leq r, \quad 1 \leq k \leq M, \quad 1 \leq l \leq N \right\} \quad (1)$$

با انتخاب اندیس پایینهای u ، x و y به ترتیب برای نشان دادن ورودی، حالت و خروجی، معادله‌های حاکم بر شبکه عصبی سلولی عبارت اند از [۶]:

معادله حالت:

$$\begin{aligned} C' \frac{dV_{xij}(t)}{dt} &= -\frac{1}{R_x} V_{xij}(t) + I \\ &+ \sum_{C''(k,l) \in N'_r(i,j)} A(i,j,k,l) V_{ykl}(t) \\ &+ \sum_{C''(k,l) \in N'_r(i,j)} B(i,j,k,l) V_{ykl}(t) \\ &+ \sum_{C''(k,l) \in N'_r(i,j)} D(V_{yij}(t), V_{ykl}(t)) \quad 1 \leq i \leq M; \quad 1 \leq j \leq N \end{aligned} \quad (2-a)$$

معادله خروجی:

(2-b)

$$V_{uij}(t) = \text{Sigmoid}(V_{xij}(t)), \quad 1 \leq i \leq M; \quad 1 \leq j \leq N \quad \text{معادله ورودی:}$$

(2-c)

$$V_{uij}(t) = E_{ij}, \quad 1 \leq i \leq M; \quad 1 \leq j \leq N$$

با استفاده از معادله‌های (۵) صورت تفاضلی و گسسته این روابط عبارت‌اند از:

$$\frac{du_{ij}}{dt} = \nu \left(\frac{u_{i-1j} - 2u_{ij} + u_{i+1j}}{h_y^2} - \frac{- (u_{i-1j})^2 + (u_{i+1j})^2}{2h_x} \right) - \left(\frac{-(u_{ij} - v_{ij-1}) + (u_{ij+1} - v_{ij+1})}{2h_y} \right) \quad (6-\text{الف})$$

$$\frac{dv_{ij}}{dt} = \nu \left(\frac{v_{i-1j} - 2v_{ij} + v_{i+1j}}{h_y^2} - \frac{- (v_{i-1j})^2 + (v_{i+1j})^2}{2h_x} \right) - \left(\frac{-(u_{ij} - v_{ij-1}) + (u_{ij+1} - v_{ij+1})}{2h_x} \right), \quad (6-\text{ب})$$

در این معادله‌ها h_x اندازه قدم مکانی در جهت x و h_y اندازه قدم مکانی در جهت y است. نکته قابل توجه این است که h_x ثابت است ولی با فاصله گرفتن از صفحه یا مرز ناپیوستگی h_y افزایش پیدا می‌کند.

از آنجایی که هر سلول شبکه عصبی سلولی فقط یک خروجی حقیقی دارد، برای پیاده‌سازی معادله‌های بالا به یک شبکه دو لایه نیاز است. هر لایه از این شبکه به کمک اتصالهای موضعی بین هر سلول موجود در آن با سلولهای قرار گرفته در شعاع همسایگی، آن مقدار پایدار متغیرهای مورد نظر را به دست می‌دهد. برای حل معادله‌های بالا مقادیر متغیرهای u ، v ، t ، i ، j ، h_x ، h_y موجود در هر گره محاسباتی را بر روی ولتاژ حالت V_{xij} سلولهای متناظر با آن گره در لایه‌های مربوطه شبکه عصبی نگاشت می‌دهیم. به عبارت دیگر مقدار متغیر (i, j, t) در گره محاسباتی (j) در هر لحظه از زمان با ولتاژ حالت سلول متناظر با آن گره در لایه مربوط به محاسبه u برابر است. برای متغیر (i, j, t) نیز به طریق مشابهی عمل می‌شود.

برای حل معادله دیفرانسیل جزیی توسط شبکه عصبی سلولی ابتدا آن را گسسته^۶ کرده و مطابق با معادله حالت شبکه سلولی به صورتی دسته بندی می‌کنیم که متغیر مورد محاسبه در هر گره بر ولتاژ حالت شبکه در سلول متناظر با آن گره منطبق شود. سپس با در نظر گرفتن شرایط قید (۲-د) و (۲-ه) به حل معادله پرداخته می‌شود. شرایط مرزی نیز از طریق به کارگیری سلولهایی با ولتاژ حالت معین در مرزهای متناظر پیاده‌سازی می‌شوند [۴-۶].

وقتی معادله دیفرانسیل جزیی گسسته می‌شود مقداری خطأ وارد می‌شود که این خطأ تنها اختلاف بین دو سیستم است [۵ و ۸]. اگرچه شبکه عصبی سلولی از لحاظ زمانی پیوسته است، رفتار گذراي آن با رفتار سیستم مورد مطالعه یکسان نیست و این تنها رفتار پایدار آن است که بر رفتار سیستم مورد نظر منطبق است. معادله‌های دیفرانسیل جزیی را می‌توان با دقتی قابل ملاحظه توسط شبکه‌های عصبی سلولی حل کرد [۵، ۸ و ۱۰].

۳- معادله‌های حاکم بر جریان لایه مرزی آرام و جت آزاد توربولانس

معادله‌های حاکم بر جریان لایه مرزی آرام روی صفحه تخت برای جریان تراکم ناپذیر عبارت‌اند از [۱۱]:

$$\frac{\partial u}{\partial t} + u \frac{\partial u}{\partial x} + v \frac{\partial u}{\partial y} = \nu \frac{\partial^2 u}{\partial y^2} \quad (3-\text{الف})$$

$$\frac{\partial v}{\partial t} + u \frac{\partial v}{\partial x} + v \frac{\partial v}{\partial y} = \nu \frac{\partial^2 v}{\partial y^2} \quad (3-\text{ب})$$

$$\frac{\partial u}{\partial x} + \frac{\partial v}{\partial y} = 0 \quad (4)$$

که در معادله‌های بالا u و v به ترتیب مؤلفه‌های افقی و عمودی سرعت جریان هستند با استناد به معادله پیوستگی (۴) می‌توان معادله‌های (۳) را بدین صورت نوشت:

$$\frac{\partial u}{\partial t} = \nu \frac{\partial^2 u}{\partial y^2} - \frac{\partial u}{\partial x} - \frac{\partial(uv)}{\partial y} \quad (5-\text{الف})$$

$$\frac{\partial v}{\partial t} = \nu \frac{\partial^2 v}{\partial y^2} - \frac{\partial(uv)}{\partial x} - \frac{\partial v}{\partial y} \quad (5-\text{ب})$$

$$\frac{\partial u}{\partial t} + u \frac{\partial u}{\partial x} + v \frac{\partial u}{\partial y} = \frac{1}{\rho} \frac{\partial \tau}{\partial y} \quad (7-\text{الف})$$

$$\frac{\partial u}{\partial x} + \frac{\partial v}{\partial y} = 0 \quad (7-\text{ب})$$

که در آن با جایگذاری معادله پراندل [۱۱] برای تنش ظاهری، τ داریم:

$$\frac{\partial u}{\partial t} = kx \frac{\partial^2 u}{\partial y^2} - \frac{\partial u}{\partial x} - \frac{\partial(uv)}{\partial y} \quad (8-\text{الف})$$

$$\frac{\partial u}{\partial x} + \frac{\partial v}{\partial y} = 0 \quad (8-\text{ب})$$

در این معادله یک ضریب ثابت است که به صورت تجربی تعیین می‌شود و مقدار عددی آن در اینجا برای نرخ گسترش فضایی $x/1000$ برابر ۱۴ است [۱۱]. صورت تفاضلی معادله‌های بالا عبارت اند از:

$$\frac{du_{ij}}{dt} = ikh_x \left(\frac{u_{i-1,j} - 2u_{ij} + u_{i+1,j}}{h_y} \right) - \left(\frac{-(u_{i-1,j})^2 + (u_{i+1,j})^2}{2h_x} \right) \quad (9-\text{الف})$$

$$- \left(\frac{-(u_{ij} - v_{ij-1}) + (u_{ij+1}v_{ij+1})}{2h_y} \right)$$

$$= \left(\frac{u_{ij} - u_{i-1,j}}{h_x} \right) + \left(\frac{v_{ij} - v_{ij-1}}{h_y} \right) \quad (9-\text{ب})$$

ماتریسهای به دست آمده برای معادله‌های (۹) به همان روش ماتریسهای مربوط به لایه مرزی حاصل شده و عبارت اند از:

$$A_{ij,kl}^{uu} = \frac{ih_x}{h_y} \begin{bmatrix} 0 & k & 0 \\ 0 & -2k & 0 \\ 0 & k & 0 \end{bmatrix} [u_{kl}]$$

$$C_{ij,kl}^{uu,u} = \frac{1}{2h_x} \begin{bmatrix} 0 & 0 & 0 \\ -1 & 0 & 1 \\ 0 & 0 & 0 \end{bmatrix} [u_i \cdot u_k]$$

$$C_{ij,kl}^{uv,u} = \frac{1}{2h_y} \begin{bmatrix} 0 & -1 & 0 \\ 0 & 0 & 0 \\ 0 & 1 & 0 \end{bmatrix} [u_j \cdot v_l]$$

اکنون با استفاده از تابع خروجی سیگموید می‌توان ماتریسهای راکه روی لایه‌ها و بین آنها عمل می‌کنند با توجه به معادله‌های (۶) به دست آورده.

$$A_{ij,kl}^{uu} = \frac{1}{h_y} \begin{bmatrix} 0 & 0 & 0 \\ \nu & -2\nu & \nu \\ 0 & 0 & 0 \end{bmatrix} [u_{kl}]$$

و برای عبارتهای غیر خطی نیز داریم:

$$C_{ij,kl}^{uu,u} = \frac{1}{2h_x} \begin{bmatrix} 0 & 0 & 0 \\ 1 & 0 & -1 \\ 0 & 0 & 0 \end{bmatrix} [u_i \cdot u_k]$$

$$C_{ij,kl}^{uv,u} = \frac{1}{2h_y} \begin{bmatrix} 0 & -1 & 0 \\ 0 & 0 & 0 \\ 0 & 1 & 0 \end{bmatrix} [u_j \cdot v_l]$$

ماتریسهای مربوطه برای محاسبه سرعت v نیز به همین ترتیب به دست می‌آیند. شرایط اولیه و مرزی مربوط به معادله‌های لایه مرزی تخت آرام عبارت اند از:

شرط اولیه: $(t = 0 ; u = v = 0)$
شرط مرزی

$$y = 0 ; u = v = 0 \quad (\text{الف})$$

$$y \rightarrow \infty ; u \rightarrow 1(\text{m/s}), v = 0$$

$$y = 0 ; u = 0, v = \pm 0.05(\text{m/s}) \quad (\text{ب})$$

$$y \rightarrow \infty ; u \rightarrow 1(\text{m/s}), v = 0$$

معادله‌های توربولانس آزاد نیز از نوع معادله‌های لایه مرزی اند و حل معادله بقای مومتم برای متوسط مؤلفه افقی سرعت به همراه معادله پیوستگی، نیمرخهای متوسط مؤلفه‌های افقی و عمودی سرعت را به دست می‌دهد. علی‌رغم تشابه ظاهری روابط جت آزاد توربولانس و لایه مرزی آرام، اختلاف چشمگیری بین این دو مجموعه از معادله‌ها وجود دارد. در جریان توربولانس آزاد تنش برشی علاوه بر شیب تغییرات سرعت در راستای عمود برجهت جریان به ضریب متغیر لزجت (ظاهری) نیز بستگی دارد. در جریان لایه مرزی آرام نیز تنش برشی به همان عوامل بستگی دارد ولی مقدار لزجت ثابت است. معادله‌های حاکم بر جت آزاد توربولانس عبارت اند از:

و برای لایه مربوط به سرعت ۷ داریم:

$$A_{ij,kl}^{u,v} = \frac{1}{h_x} \begin{bmatrix} 0 & 0 & 0 \\ -1 & 1 & 0 \\ 0 & 0 & 0 \end{bmatrix} [u_k]$$

$$A_{ij,kl}^{v,v} = \frac{1}{h_y} \begin{bmatrix} 0 & 0 & 0 \\ 0 & 1 & 0 \\ 0 & -1 & 0 \end{bmatrix} [v_l]$$

شرایط اولیه و مرزی برای جت آزاد توربولانس عبارت اند از:
شرایط اولیه:

$$t = 0 ; u = v = 0$$

شرایط مرزی:

$$y = 0 ; \frac{\partial u}{\partial y} = 0$$

$$y = b ; u = 10(m/s), v = 0$$

$$y = -b ; u = v = 0$$

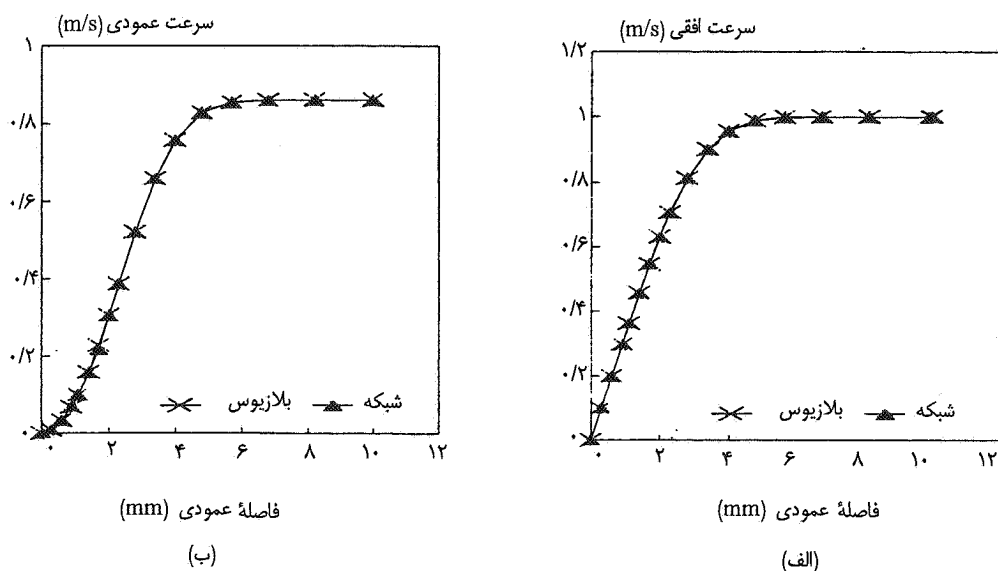
اندیس بالاهای نوشته شده روی ماتریسها نمایشگر این هستند که این ماتریسها مربوط به کدام متغیر محاسباتی است و روی کدام لایه عمل می‌کند. به عنوان مثال، اندیس بالای uv, u به این معناست که کمیت حاصل شده uv ، که خود از اتصالهای خاص برقی بین دو لایه مربوط به محاسبه متغیرهای u و v به دست آمده است، روی لایه u عمل می‌کند.

۴- نتایج پیاده‌سازی

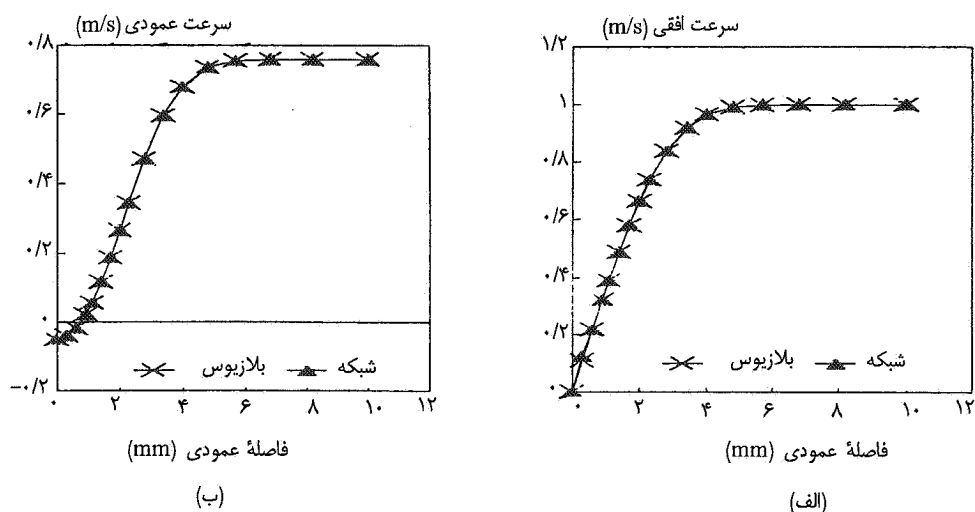
برای لایه مرزی به طور دلخواه از یک شبکه دو لایه با تعداد 11×17 نقطه استفاده شده است. مقادیر h_x و h_y اولیه در کنار دیواره، به ترتیب با $(m) 0/0/1$ و $(m) 0/0/1$ برابرند. در قدم y در جهت عمودی سرعت در فاصله $m 0/0/1$ ، که با توجه به طول قدمهای افقی و عمودی سرعت در نزدیکترین مقطع عرضی محاسباتی به لب شروع جریان توربولانس h_x نزدیکترین مقطع عرضی محاسباتی به لب شروع جریان توربولانس است، نشان داده شده است. در شبکهای (۵-الف) و (۵-ب) نیز به ترتیب تغییرات مؤلفه‌های افقی و عمودی سرعت در فاصله $m 0/0/1$ از لب شروع جریان توربولانس، نشان داده شده است.

۵- بحث و بررسی

از مقایسه نتایج به دست آمده از مدل شبکه عصبی سلولی و نتایج به دست آمده از جوابهای مبتنی بر حلهای تشابهی معادله‌های لایه مرزی آرام و جت آزاد توربولانس می‌توان نتیجه گرفت که این شبکه‌ها با دقیقیت یکسان نیمرخهای سرعت را در زمان بسیار کمتری به دست می‌آورند. تنها موقعیتی که در آن جوابهای شبکه عصبی مورد نظر با جوابهای تشابهی اختلاف چشمگیری دارند برای جریان جت آزاد توربولانس در نزدیکی لب جریان است. البته لب شروع جریان یک نقطه تکینه^۹ در میدان جریان است و حل تشابهی موجود قادر به محاسبه یک نیمرخ دقیق سرعت در این نقطه نبوده [۱۱] و با



شکل ۱- نمودار تغییرات سرعت در لایه مرزی بدون لفڑش برای (الف) مؤلفه افقی ، (ب) مؤلفه عمودی

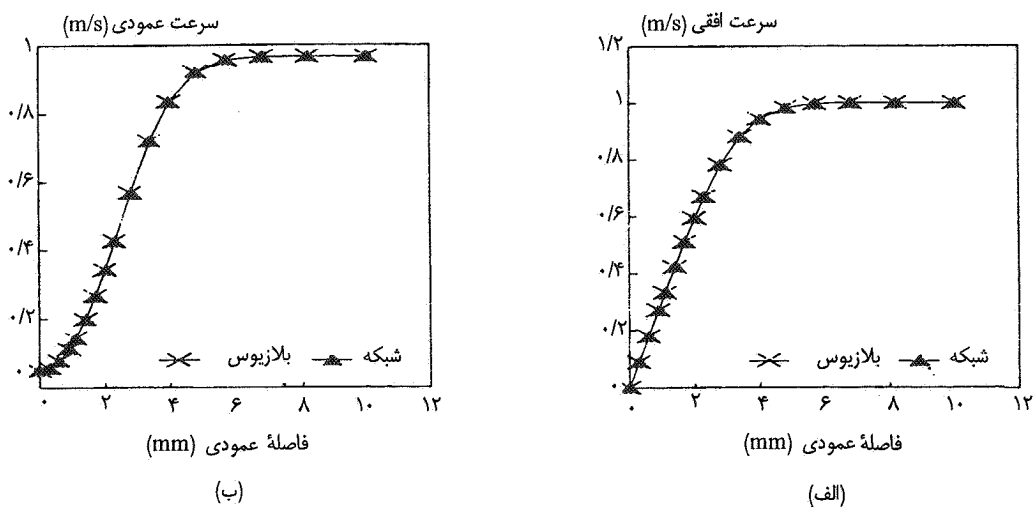


شکل ۲- نمودار تغییرات سرعت در لایه مرزی با مکش برای (الف) مؤلفه افقی ، (ب) مؤلفه عمودی

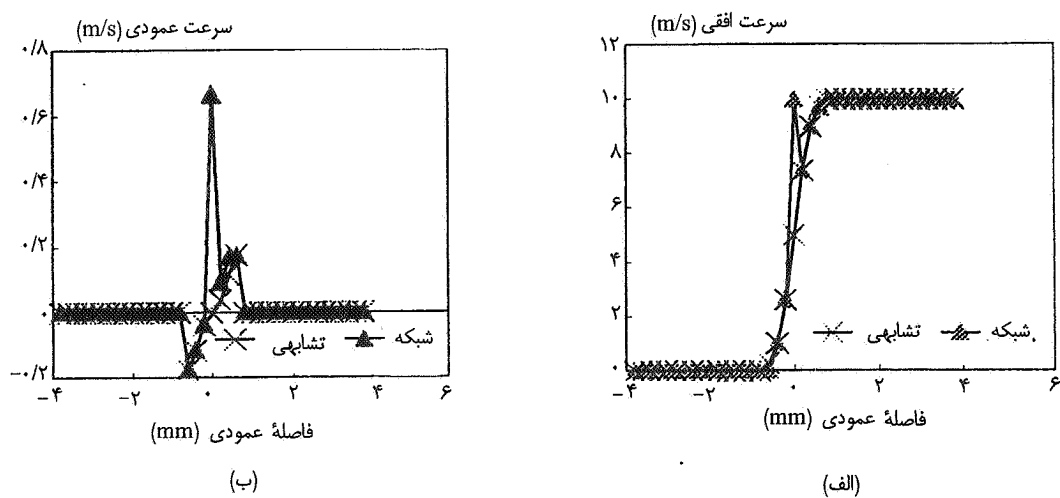
عصبی مزبور را قابل قبول توصیف کرد.

اهمیت این موضوع در حل معادله‌های توربولانس آزاد، یعنی در شرایطی که جریان توربولانس به دور از دیواره‌های فیزیکی توسعه پیدا می‌کند، بسیار زیاد است. دلیل این امر آن است که برای جریانهای مزبور کلیه مدل‌های موجود از لحاظ محاسبه نیمرخ سرعت متوسط جریان دقت کم و بیش یکسانی داشته [۱۱] ولی از لحاظ سرعت محاسبات متفاوت‌اند. همچنین با توجه به اینکه حل معادله‌های جریانهای توربولانس در حالت کلی به شبکه‌های محاسباتی بسیار ریزی نیاز داشته [۱۲] و در نتیجه از لحاظ توان و

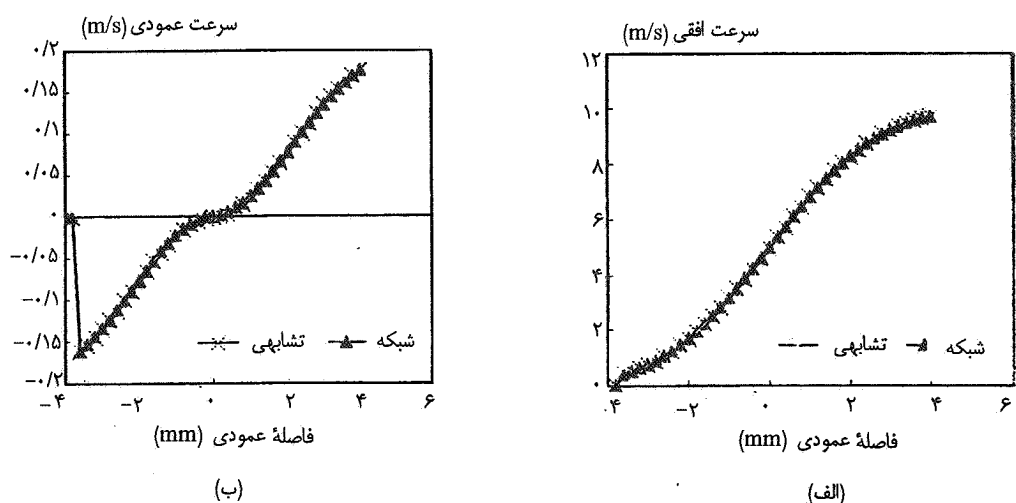
توجه به ذات تشابهی خود فقط یک نیمرخ سرعت تقریبی را در نزدیکی این نقطه به دست می‌دهد. بنابراین نمی‌توان برپایه مقایسه با حل تشابهی در مورد صحت جوابهای به دست آمده از شبکه عصبی مورد نظر قضاوت کرد. از طرف دیگر شبکه عصبی سلولی h_x مورد استفاده برای مقادیر h با مرتبه ابعادی حدود $1/0$ مقدار h به کار رفته رفتار ناپایداری از خود نشان می‌دهد و از این رو نمی‌توان با شبکه به کار رفته میدان جریان را در داخل این ناحیه به دست آورد. به هر جهت با توجه به کوچکی قابل ملاحظه این ناحیه که در حدود 1 m بیشتر وسعت ندارد، می‌توان عملکرد شبکه استقلال، سال ۱۷، شماره ۲، اسفند ۱۳۷۷



شکل ۳- نمودار تغییرات سرعت در لایه مرزی با دمش برای (الف) مؤلفه افقی ب) مؤلفه عمودی



شکل ۴- نمودار تغییرات سرعت جت مرزی آزاد در ناحیه لبه برای (الف) مؤلفه افقی ب) مؤلفه عمودی



شکل ۵- نمودار تغییرات سرعت جت مرزی آزاد در ناحیه دور از لبه (الف) مؤلفه افقی، ب) مؤلفه عمودی

می‌گیریم که می‌توان از شبکه‌های عصبی سلولی به عنوان یک مدل محاسباتی نوین که قادرند در زمانی بسیار کوچک با دقیقی قابل قبول نیمرخهای سرعت را به دست دهند در حل موارد مشابه موجود در جریانات توربولانس استفاده کرد. در عین حال قابلیت پیاده‌سازی این شبکه‌ها توسط مدارهای مجتمع امکان استفاده ارزان‌قیمت آنها را در میدانهایی با تعداد نقاط محاسباتی زیاد فراهم می‌سازد. از نقطه نظر مکانیک سیالات این ویژگی در حل معادله‌های جریان توربولانس، که در حالت کلی به نقاط محاسباتی زیادی نیازمندند،

اهمیت زیادی دارد.

حافظه سخت افزاری زمانبر و پر هزینه‌اند [۵]، می‌توان با توجه به قابلیتهای پیاده‌سازی شبکه‌های عصبی سلولی توسط مدارهای مجتمع و سرعت بالای پردازش موازی اطلاعات با هزینه ناچیز [۵-۳] از این شبکه‌ها به صورت مناسبی استفاده کرد. از آنجایی که اکثر جریانهای مهم طبیعی و صنعتی توربولانس‌اند اهمیت کاربرد این نوع شبکه‌ها در حل معادله‌های جریان هر چه بیشتر روشن می‌شود.

۶- نتیجه گیری

با توجه به مثالهای حل شده و نتایج به دست آمده نتیجه

واژه نامه

- | | | |
|----------------------------|------------------------------|--------------------------------|
| 1. cellular neural network | 3. local interactions | 5. spatially continuous system |
| 2. integrated circuits | 4. spatially discrete system | 6. discretize |

مراجع

- Chua, L. O., and Yang, L., "Cellular Neural Networks: theory," *IEEE Transactions on Circuits and systems*, CAS-35, pp. 1257-1272, 1988.
- Chua, L. O., and Yang, L., "Cellular Neural Networks: theory," *IEEE Transactions on Circuits and systems*, CAS-35, pp. 1273-1290, 1988.
- Chua, L. O., and Roska, T., "The CNN paradigm," *IEEE Transactions on Circuits and Systems*, CAS-40, pp. 147-156, 1993.
- Roska, T., Wolf, D., Kozek, T., Tetzlaff, R., Chua, L. O., and Yang, L., "Solving Partial Differential Equations by CNN." *Proceedings of the 11th European Conference on Circuit Theory and Design*, Davos, pp. 1477-1482, 1993.
- Roska, T., and Kozek, T., "A Double Time-Scale CNN for Solving Two Dimensional Navier-Stokes Equation," *International Journal of Circuit Theory and Applications*, Vol. 24, pp. 49-55, 1996.
- Gobovic, D., and Zaghoul, M. E., "Analog Cellular Neural Network with Application to Partial Differential Equations," *Proceedings of the IEEE International Symposium on Circuits and Systems*, Vol. 6, pp. 359-362, 1994.
- Roska, T., and Chua, L. O., "The CNN Universal Machine: An Analogic Array Computer," *IEEE Transactions on Circuits and Systems*, CAS-40, pp. 163-173, 1993.
- Dissanayake, M.W. M. G., and phan-Thien, N., "Neutral-Network-Based Approximation for Solving Partial Differential Equations," *Communications in Numerical Methods in Engineering*, Vol. 10, No. 3, 1993.
- Kozek, T., Chua, L. O., Roska, T., Wolf, D., Tetzlaff, R., Puffer, F., and Lotz, K., "Simulating Nonlinear Waves and Partial Differential Equations via. CNN," *IEEE Transactions on Circuits and Systems I: Fundamental Theory and Applications*, Vol. 42, No. 10, pp. 816-820, 1995.
- Roska, T., Chua, L.O., Wolf, D., Kozek, T., Tetzlaff, R., and Puffer, F., "Simulating Nonlinear Waves and Partial Differential Equations via. CNN", *IEEE Transactions on Circuits and Systems I: Fundamental Theory and Applications*, Vol. 42, No. 10, pp. 807-815, 1995.
- Schlichting, H., *Boudary Layer Theory*, 6th ed., pp. 681-690, McGraw Hill, New York, 1968.
- Fischberg, J., Rhie, C. M., Zacharias, R. M., Bradley, P. C., and DesSureault, T. M., "Using Hundreds of Workstations for Production Running of Parallel CFD Applications," *Proceedings of the Parallel CFD, 95 Conference*, Pasadena, CA, U.S.A., pp. 9-22, 1995.